

Table 1: MET pileup fractional  $\Delta$  acceptance in signal region

<b>samples</b>	<b>enujj</b>	<b>munujj</b>
herwig.ww	0.47	0.48
herwig.wz	1.19	0.92
herwig.zz	3.49	4.32
herwig.vv	0.64	0.61
mcatnlo.ttbar	0.78	0.43
mcatnlo.top	0.78	0.47
mcatnlo.singletop	0.85	0.72
alpgen.wjets	0.45	0.12
alpgen.zjets	2.13	0.84
qcd.alpgen	-	-
rsg.m500.kmpl0_1	0.96	1.11
rsg.m750.kmpl0_1	0.14	0.21
rsg.m1000.kmpl0_1	0.07	0.47
rsg.m1250.kmpl0_1	0.12	0.46
rsg.m1500.kmpl0_1	0.28	0.16
wprime.wz.m500	1.22	0.89
wprime.wz.m600	0.24	0.11
wprime.wz.m700	0.23	0.16
wprime.wz.m800	0.11	0.07
wprime.wz.m900	0.03	0.04
wprime.wz.m1000	0.08	0.19
wprime.wz.m1100	0.14	0.49
wprime.wz.m1200	0.06	0.36
wprime.wz.m1300	0.00	0.33
wprime.wz.m1400	0.14	0.84
wprime.wz.m1500	0.00	0.16
afii.kkg.lvjj.m500	1.35	0.83
afii.kkg.lvjj.m600	0.13	0.38
afii.kkg.lvjj.m700	0.03	0.07
afii.kkg.lvjj.m800	0.06	0.20
afii.kkg.lvjj.m900	0.07	0.08
afii.kkg.lvjj.m1000	0.00	0.29
afii.kkg.lvjj.m1100	0.19	0.31
afii.kkg.lvjj.m1200	0.00	0.28
afii.kkg.lvjj.m1300	0.39	0.53
afii.kkg.lvjj.m1400	0.00	1.19
afii.kkg.lvjj.m1500	0.29	0.51

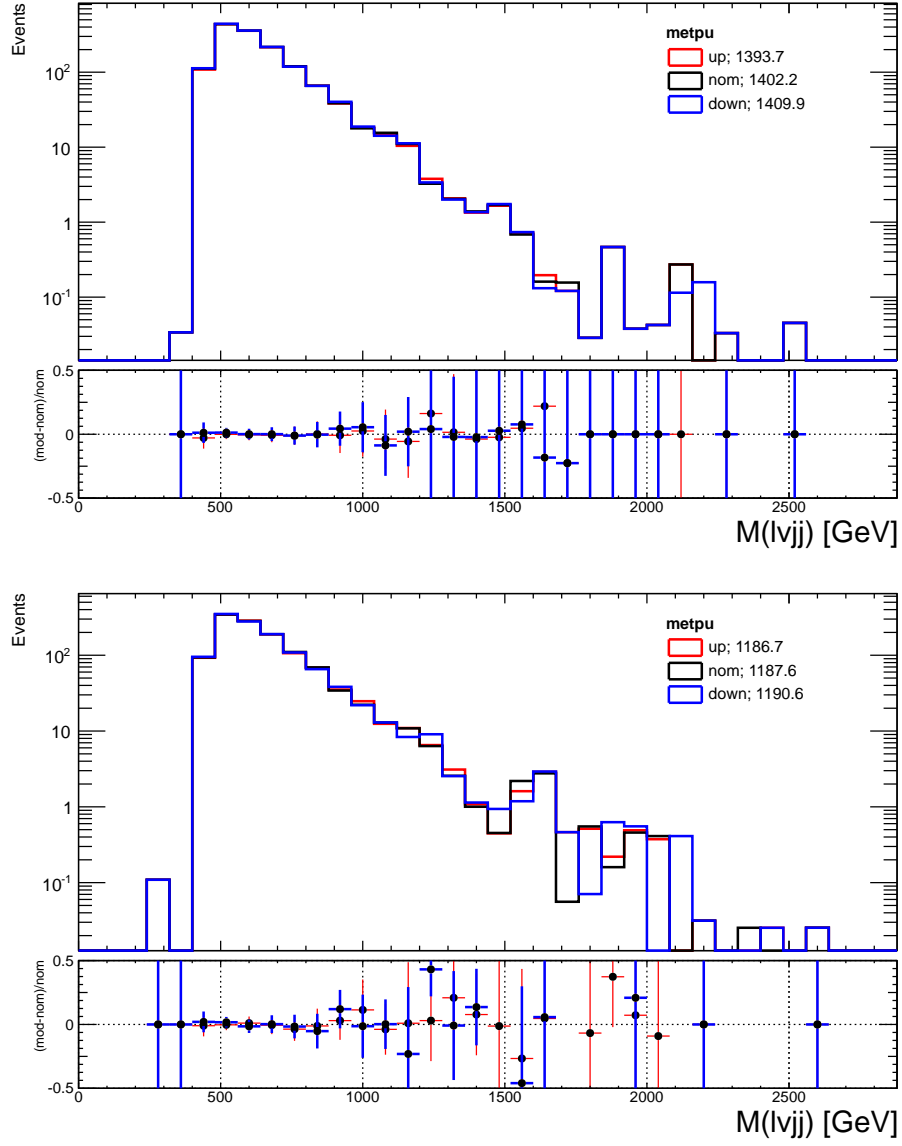


Figure 1: Transverse mass of the system for electron (top) and muon (bottom) channels